

اعتبارسنجی برآوردهای بارندگی روزانه شبکه *APHRODIT* و برآوردهای حاصل از درون- یابی مکانی بارندگی در استان خوزستان

مژده جامعی^{۱*}- محمد موسوی بایگی^۲- محمد بنایان اول^۳

چکیده

وجود داده‌های صحیح و قابل اطمینان بارندگی در مطالعات هیدرولوژی، مدیریت و برنامه‌ریزی منابع آب اهمیت زیادی دارد. در این مطالعه برای دستیابی به مناسب‌ترین روش برآورد بارندگی منطقه‌ای در استان خوزستان، داده‌های بارندگی روزانه برآوردهای حاصل از مناسب‌ترین روش درون‌یابی و داده‌های بارندگی روزانه موجود شبکه *APHRODITE* طی سال‌های ۲۰۰۷-۲۰۰۰ با مقادیر اندازه‌گیری شده در ۴۴ ایستگاه هواشناسی مقایسه شدند. مناسب‌ترین روش درون‌یابی بارندگی روزانه از ارزیابی چهار روش: وزنی عکس فاصله، کریجینگ عمومی، کوکریجینگ و رگرسیون کریجینگ تعیین گردید. در روش‌های کریجینگ برای تحلیل نیم‌تغییرنماها پنج مدل نیم-تغییرنمای کروی، نمایی، خطی، خطی دارای حد آستانه و گوسی بر داده‌های بارندگی برازش داده شد. مقایسه داده‌های بارندگی روزانه *APHRODITE* با داده‌های ثبت شده ایستگاه‌ها نیز از روش نزدیکترین همسایگی صورت گرفت. برای ارزیابی روش‌های مختلف از اعتبارسنجی متقاطع استفاده شده و تعیین دقیق‌ترین روش برآورد بارندگی روزانه براساس شاخص‌های رینه میانگین مربعات خطأ، میانگین خطای اربی، خطای مطلق میانگین و تحلیل رگرسیونی انجام گردید. نتایج ارزیابی خطای روش‌های درون‌یابی نشان داد که روش رگرسیون کریجینگ دقیق‌تر از داده‌های بارندگی روزانه استان خوزستان دارد. بنابراین روش‌های درون‌یابی مبتنی بر روابط رگرسیونی که از چندین متغیر کمکی استفاده می‌کنند، دقیق‌تر از روش بارندگی روزانه استان خوزستان دارند. مقایسه شاخص‌های خطأ و تحلیل رگرسیونی روش رگرسیون کریجینگ و شبکه *APHRODITE* بیانگر آن بود که دقیق‌تر از روش بارندگی روزانه در استان خوزستان، استفاده از روش درون‌یابی رگرسیون کریجینگ دقیق‌تر از داده‌های بارندگی روزانه در استان خوزستان می‌باشد.

واژه‌های کلیدی : بارندگی روزانه، رگرسیون کریجینگ، *APHRODITE*، خوزستان

۱- دانشجوی دکتری هواشناسی کشاورزی، دانشگاه فردوسی مشهد (*ایمیل نویسنده مسئول: mozhdeh.jamei@gmail.com)

۲- استاد هواشناسی دانشگاه فردوسی مشهد

۳- دانشیار دانشکده کشاورزی دانشگاه فردوسی مشهد

مقدمه

درون‌یابی بارندگی ماهانه حوضه آبریزی در شیلی روش‌های کریجینگ را برای مناطق کوهستانی توصیه کردند. نتایج مطالعه فرانسیسکو (۱۰) در جنوب‌غرب اسپانیا حاکی از آن بود که الگوریتم‌های چندمتغیره نسبت به الگوریتم‌های ساده دارای خطای کمتری می‌باشند. ژانگ و سرینیوسان (۲۰) روش کریجینگ با روند خارجی را مناسب‌ترین روش برآورد بارندگی روزانه در پائین دست رودخانه زرد در چین معرفی کردند. کولیبالی و بیکر (۸) جهت درون‌یابی بارش سالانه در جنوب آفریقا، روش کریجینگ معمولی را توصیه نمودند.

از دیگر روش‌های دستیابی به بارندگی روزانه در مناطق وسیع، استفاده از پایگاه‌های داده بارندگی شبکه‌بندی شده موجود با پوشش منطقه‌ای و جهانی و در مقیاس زمانی روزانه و ساعتی است. در دهه‌های اخیر این پایگاه داده‌ها به دو صورت داده‌های مبتنی بر ماهواره و داده‌های مبتنی بر باران‌سنجهای این دسترس بوده‌اند (۱۷). اما تفاوت‌های زیادی در برآوردهای این پایگاه داده‌ها وجود دارد و بسیاری از آن‌ها مانند تولیدات ماهواره‌ای قدرت تفکیک مکانی مناسب و داده‌های طولانی مدت را ندارند (۱۱). در سال ۲۰۰۶ پروژه‌ای تحت عنوان *APHRODITE*^۱ توسط مرکز تحقیقات بشر و طبیعت و مرکز تحقیقات هوافضایی کشور ژاپن، به منظور ایجاد پایگاه داده‌های بارندگی روزانه شبکه‌بندی شده در سراسر قاره آسیا با قدرت تفکیک مکانی بالا و براساس مشاهدات باران‌سنجهای آغاز شد. این پایگاه داده که دوره آماری بیش از ۵۷ سال را پوشش می‌دهد با روش درون‌یابی *ADW*^۲ تهیه شده است (۲۱). مطالعات محدودی در زمینه کاربرد این پایگاه داده‌ها در ایران و جهان صورت گرفته است. بارانی‌زاده و همکاران (۱) جهت ارزیابی عملکرد الگوریتم *PERSIANN* در پایش بارندگی ایران، داده‌های بارندگی *APHRODITE* را به عنوان داده مرجع بکار برده. رضیئی و همکاران (۳) برای تعیین الگوهای روزانه گردش جو زمستانه در ایران و خاورمیانه از داده‌های بارندگی *APHRODITE* استفاده کردند. نتیجه مطالعه ویو و همکاران (۱۷) برای شبیه‌سازی رواناب حوضه آبریزی در ویتنام نشان داد که داده‌های *APHRODITE* در مقیاس روزانه بهترین تطابق را با داده‌های ایستگاه‌ها دارند. رضیئی و همکاران (۱۴)

در بررسی پدیده‌های جوی بارندگی از مهمترین عناصر اقلیمی است که تغییرات مکانی و زمانی زیادی دارد. در بسیاری از مطالعات بیلان منابع آب، مدیریت و برنامه‌ریزی منابع آب، پیش‌بینی سیلاب و مطالعات اقلیمی وجود داده‌های مشاهداتی بارندگی و توزیع مکانی و زمانی آن در مناطق وسیع اهمیت بسزایی دارد. اما در بیشتر موارد شبکه ایستگاه‌های باران‌سنجهای پراکنده بوده و داده‌های مشاهداتی موجود برای تحلیل توزیع مکانی بارندگی کافی نمی‌باشند. از سوی دیگر داده‌های بارندگی روزانه و ساعتی از ورودی‌های مهم در مطالعات مدل سازی هیدرولوژیکی هستند. از آنجایی که اغلب الگوهای مکانی بارندگی در مقیاس‌های زمانی کوتاه مدت بسیار ناهمگن می‌باشند (۷)، بنابراین دستیابی به روشهای مناسب جهت برآورد منطقه‌ای بارندگی روزانه در سطح وسیع ضروری است. از مهمترین روش‌های برآورد منطقه‌ای بارندگی، روش‌های درون‌یابی می‌باشند که در این روش‌ها از مقادیر معلوم نمونه‌برداری شده، برای پیش‌بینی مقادیر مجهول در محل‌های نمونه‌برداری نشده استفاده می‌شود. انتخاب روش درون‌یابی به طبیعت متغیر و تغییرات آن بستگی دارد و برای حالات مختلف هیچگاه استفاده از یک روش به عنوان روش بهینه پیشنهاد نمی‌شود، چون یک روش خاص در شرایط مختلف دقت‌های متفاوتی دارد. مطالعات متعددی در زمینه برآورد بارندگی با استفاده از روش‌های درون‌یابی در ایران و جهان انجام شده است که نتایج متفاوتی داشته‌اند. نادی و همکاران (۶) روش رگرسیون کریجینگ را مناسب‌ترین روش درون‌یابی بارندگی ماهانه و سالانه در استان خوزستان معرفی کردند. میرموسوی و همکاران (۵) کریجینگ معمولی با مدل دایره‌ای را مناسب‌ترین روش درون‌یابی بارندگی سالانه در استان اصفهان معرفی کردند. واگنر و همکاران (۱۸) در بررسی روش‌های درون‌یابی بارندگی روزانه به این نتیجه رسیدند که روش‌های مبتنی بر معادله رگرسیون که از متغیرهای کمکی استفاده می‌کنند، بهترین نتایج را دارند. مطالعه دی پیزا و همکاران (۹) نیز بیانگر آن بود که روش‌های تک متغیره در درون‌یابی بارندگی خطای بیشتری داشته و رگرسیون کریجینگ بهترین روش برای داده‌های ماهانه و سالانه در سیسیل ایتالیا می‌باشد. ورورن و هابرلند (۱۶) نشان دادند که در شبکه‌های باران‌سنجهای وسیع استفاده از متغیرهای کمکی الگوهای مکانی بارندگی را بطور قابل ملاحظه بهبود می‌دهند. تورس و جاکوبین (۱۵) برای

۱ - Asian Precipitation -Highly Resolved Observational Data Integration Towards the Evaluation of Water Resources

2 - Angular-Distance-Weighting

۴۷° تا ۳۳° طول شرقی و ۵۷° و ۳۳° عرض شمالی، در جنوب غربی ایران واقع است. محدوده ارتفاعی خوزستان از صفر در سواحل خلیج فارس تا ۳۷۱۲ متر در مناطق کوهستانی شمال شرق می‌باشد. این منطقه دارای اقلیم خشک و نیمه خشک بوده و دوره بارندگی آن معمولاً از مهرماه تا اردیبهشت ماه است. از نظر توپوگرافی خوزستان به دو بخش جلگه‌ای و کوهستانی تقسیم می‌شود.

داده‌های مورد استفاده

با توجه به اینکه داده‌های بارندگی *APHRODITE* برای سال‌های ۱۹۵۱-۲۰۰۷ برآورده شده‌اند، لذا جهت انتخاب دوره‌ی آماری مشترک بین این داده‌ها و داده‌های ثبت شده در ایستگاه‌های هواشناسی، آمار همه ایستگاه‌های استان مورد بررسی قرار گرفتند. در نهایت دوره آماری ۸ ساله ۲۰۰۰ تا ۲۰۰۷ کامل‌ترین دوره در ۴۴ ایستگاه (۱۵ ایستگاه باران سنجی و ۹ ایستگاه کلیماتولوژی سازمان هواشناسی، ۸ ایستگاه باران سنجی و ۱۲ ایستگاه تبخیرسنجی وزارت نیرو) تشخیص داده شد. برای هر سال مطالعاتی ۴ روزی که بارندگی در کل استان خوزستان رخ داده باشد انتخاب گردیده و در مجموع ۳۲ سری داده بارندگی روزانه در این مطالعه مورد بررسی قرار گرفتند که در جدول ۱ روزهای منتخب مشخص شده‌اند.

رابطه بین انواع گردش‌های جوی بزرگ مقیاس و رژیم‌های فصلی بارندگی روزانه در سراسر ایران را به کمک داده‌های *APHRODITE* ارزیابی کردند. راجیوان و بهاتا (۱۳) جهت بررسی کیفیت داده‌های شبکه بارندگی هند، آن‌ها را با داده‌های شبکه *APHRODITE* مقایسه نمودند.

استان خوزستان با هزاران هکتار اراضی حاصلخیز از قطب‌های مهم کشاورزی در ایران است که علیرغم گستردگی منابع آب در آن، همواره مشکل تامین آب کشاورزی بخصوص در شرایط خشکسالی در آن مطرح است. لذا جهت برنامه‌ریزی و مدیریت صحیح منابع آب در استان خوزستان و با توجه توپوگرافی منطقه و فقدان ایستگاه‌های هواشناسی مرتفع با آمار درازمدت، برای دسترسی به داده‌های بارندگی منطقه‌ای و درازمدت استفاده از پایگاه‌های داده بارندگی شبکه‌بندی شده جهانی موجود و یا استفاده از یک روش درون‌یابی مناسب ضروری است. بنابراین هدف این مطالعه دستیابی به مناسب‌ترین روش برآورده بارندگی منطقه‌ای در استان خوزستان از طریق مقایسه داده‌های بارندگی روزانه شبکه *APHRODITE* با داده‌های برآورده حاصل از مناسب‌ترین روش درون‌یابی می‌باشد.

مواد و روش‌ها

محدوده مطالعاتی

استان خوزستان با مساحت ۶۴۷۴۶ کیلومتر مربع، بین ۴۰°

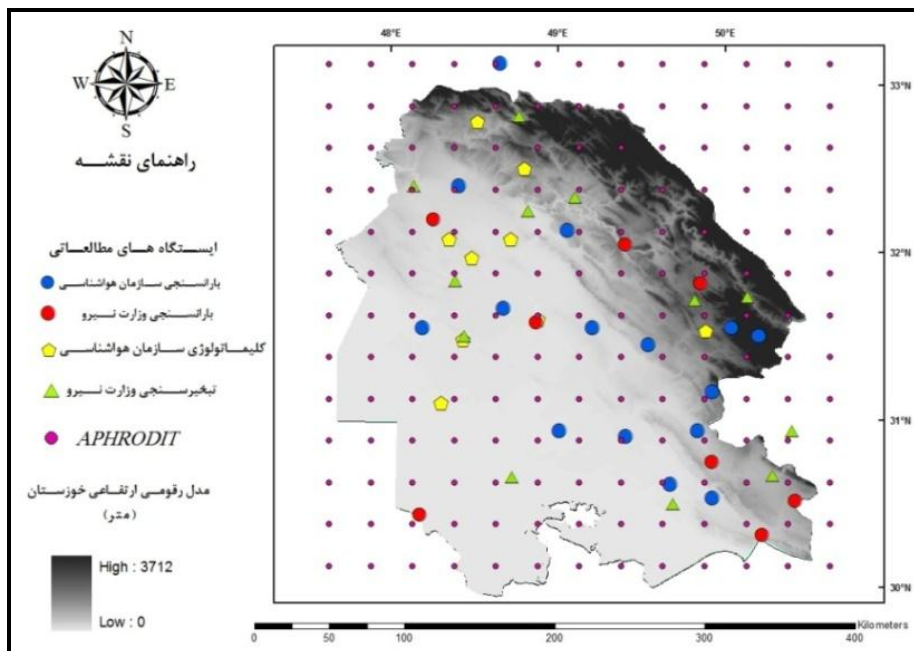
جدول ۱- روزهای منتخب بارندگی در ایستگاه‌ها

سال	ماه	سال	ماه	سال	ماه
۲۰۰۰	ژانویه	۲۰۰۴	ژانویه	۲۰۰۰	ژانویه
۲۰۰۰	فوریه	۲۰۰۴	فوریه	۲۰۰۰	فوریه
۲۰۰۰	نوفمبر	۲۰۰۴	نوفمبر	۲۰۰۰	نوفمبر
۲۰۰۰	دسامبر	۲۰۰۴	دسامبر	۲۰۰۰	دسامبر
۲۰۰۱	ژانویه	۲۰۰۵	ژانویه	۲۰۰۱	ژانویه
۲۰۰۱	فوریه	۲۰۰۵	فوریه	۲۰۰۱	فوریه
۲۰۰۱	نوفمبر	۲۰۰۵	مارس	۲۰۰۱	مارس
۲۰۰۱	دسامبر	۲۰۰۵	دسامبر	۲۰۰۱	دسامبر
۲۰۰۲	ژانویه	۲۰۰۶	ژانویه	۲۰۰۲	ژانویه
۲۰۰۲	فوریه	۲۰۰۶	فوریه	۲۰۰۲	فوریه
۲۰۰۲	نوفمبر	۲۰۰۶	مارس	۲۰۰۲	مارس
۲۰۰۲	دسامبر	۲۰۰۶	دسامبر	۲۰۰۲	دسامبر
۲۰۰۳	ژانویه	۲۰۰۷	ژانویه	۲۰۰۳	ژانویه
۲۰۰۳	فوریه	۲۰۰۷	فوریه	۲۰۰۳	فوریه
۲۰۰۳	مارس	۲۰۰۷	نوفمبر	۲۰۰۳	نوفمبر

گردید.

با توجه به دوره آماری منتخب، فایل داده‌های سال‌های ۲۰۰۰-۲۰۰۷ از کل داده‌های (APHRO_ME) انتخاب و فرمت داده‌ها از nc به صورت Excel تبدیل شد. سپس براساس طول و عرض جغرافیایی محدوده خوزستان، داده‌های بارندگی از کل منطقه خاورمیانه استخراج شده و در نهایت داده‌های ۳۲ روز منتخب از ۳۶۵ روز سال انتخاب شدند. در شکل ۱ پراکندگی ایستگاه‌های هواشناسی منتخب و موقعیت شبکه APHRODIT در استان خوزستان ارائه شده است.

داده‌های "APHRODITE" داده‌های یکپارچه مشاهداتی بارندگی آسیا با قدرت تفکیک بالا به منظور ارزیابی منابع آب" به صورت سه مجموعه مجزا مناطق موسمی آسیا، خاورمیانه و روسیه را پوشش داده و با قدرت تفکیک مکانی 0.25×0.25 درجه و با مقیاس زمانی روزانه در پایگاه اینترنتی <http://www.chikyu.ac.jp/precip/index.html> موجود می‌باشند (۲۱). در این تحقیق داده‌های منطقه خاورمیانه (APHRO_ME) از آخرین محصله ۱۰۱ تحت عنوان VII101 APHRODIT و فرمت ".nc." از سایت مربوطه اخذ ۰.۲۵×۰.۲۵



شکل ۱- پراکندگی ایستگاه‌های منتخب و موقعیت شبکه APHRODIT در استان خوزستان

در این روش فرض بر این است که نقاطی که به هم نزدیکترند شباهت بیشتری نسبت به نقاطی که از هم دورترند دارا هستند. در روش IDW وزن (λ) برابر عکس فاصله بین ایستگاه تا نقطه مورد بررسی به توان P است (رابطه ۱) و هرچه توان بزرگتر باشد اهمیت ایستگاه‌های نزدیک در برآورد بیشتر است و توانی که کمترین خطای را داشته باشد، بعنوان توان بهینه انتخاب می‌شود (۲).

درون‌یابی

در این مطالعه برای تعیین مناسب‌ترین روش درون‌یابی بارندگی روزانه چهار روش: وزنی عکس فاصله، کریجینگ عمومی، کوکریجینگ و رگرسیون کریجینگ مورد ارزیابی قرار گرفتند. برای اجرای درون‌یابی‌ها، از قابلیت نرم‌افزارهای GS+ و "تحلیل گر زمین‌آمار" ^۱ نرم‌افزار ArcGIS9.3 استفاده شد.

روش وزنی عکس فاصله (IDW)

کوکریجینگ و براساس وجود همبستگی مکانی قوی و معنیدار بین متغیر اصلی و کمکی تخمین را اصلاح و دقت آن را بالا برد (۴). همچنین داده‌های متغیر کمکی باید مانند متغیر اصلی از توزیع نرمال تبعیت نموده و تغییرات همزمان متغیر اصلی و کمکی (نیم تغییرنامی متقاطع^۱) باید ساختاردار باشد. در مطالعه حاضر متغیر اصلی بارندگی روزانه و متغیر کمکی ارتفاع ایستگاه است.

رگرسیون کریجینگ

این روش زمانی کاربرد دارد که داده‌ها در منطقه دارای روند باشند. شرط استفاده از رگرسیون کریجینگ آن است که یک یا چند متغیر کمکی مستقل به تعداد زیاد در منطقه موجود و بین متغیر وابسته و متغیرهای کمکی، همبستگی خوبی وجود داشته باشد. در این روش ابتدا باید روند موجود در داده‌ها با استفاده از رابطه رگرسیون خطی چندگانه بین متغیر اصلی و متغیرهای کمکی محاسبه و سپس با کم کردن آن از مقادیر متغیر اصلی جزء باقیمانده بدست می‌آید. سپس باقیمانده‌ها را با روش کریجینگ عمومی درون‌یابی کرده و به لایه مقادیر براورد شده از رابطه رگرسیونی اضافه می‌شود تا لایه مقادیر نهایی درون‌یابی بدست آید. معادله این روش به صورت زیر است (۱۲) :

$$\hat{f}(s_0) = \hat{\alpha} + \hat{\beta}_1 x + \hat{\beta}_2 y + \hat{\beta}_3 h + \sum_{i=1}^n w_i z^*(s_i) \quad (2)$$

در معادله فوق $\hat{\alpha}$, $\hat{\beta}_1$, $\hat{\beta}_2$, $\hat{\beta}_3$ ضرایب معادله رگرسیونی و x , y و h طول و عرض جغرافیایی و ارتفاع نقطه s_0 می‌باشد و w_i وزن مربوط به خطای ایستگاه s_i است. همچنین $(\hat{f}(s_0) - z^*(s_i))$ مقدار متغیر درون‌یابی شده نقطه s_0 و (s_i) مقدار باقیمانده در ایستگاه s_i است.

مقایسه داده‌های بارندگی APHRODIT با مقادیر ایستگاه‌ها به روش نزدیکترین همسایگی

برای مقایسه داده‌های بارندگی روزانه برآورده APHRODIT با مقادیر بارندگی اندازه‌گیری شده در ایستگاه‌ها، از تکنیک نزدیکترین همسایگی در محیط نرم‌افزاری

$$\lambda_i = \frac{1}{d_i^p} Z^* = \sum_{i=1}^n \lambda_i Z(x_i) \quad (1)$$

در این رابطه Z^* مقدار نقطه مجھول، (x_i) مقدار مربوط به نقطه i ام و n تعداد نقاط نمونه‌برداری شده است.

کریجینگ عمومی

کریجینگ فرآیند تخمینی نالریب مبتنی بر میانگین متحرک وزن دار و با کمترین واریانس تخمین است. رابطه آن مانند روش IDW (رابطه ۱) بیان می‌شود اما تعیین وزن در آن بر اساس آنالیز نیم تغییرنامه می‌باشد. نیم تغییرنامه جهت تشریح پیوستگی مکانی متغیر بکار رفته و بدین معناست که نمونه‌های مجاور تا فاصله معینی به هم وابستگی دارند و فرض می‌شود که این وابستگی را می‌توان به صورت مدلی ریاضی ارائه کرد. لذا نیم تغییرنامه کمیتی برداری بوده که درجه‌ی همبستگی مکانی و شباهت بین نقاط اندازه‌گیری شده را بر حسب مربع تفاضل مقدار دو نقطه و با توجه به جهت و فاصله‌ی آنها نشان می‌دهد.

نیم تغییرنامه دارای سه مشخصه اثر قطعه‌ای (مولفه بی‌ساختار نیم تغییرنامه (C_0)), آستانه (حداکثر مقدار نیم تغییرنامه که مجموع بخش ساختاردار (C) و بدون ساختاردار (C_0) است) و دامنه تأثیر (فاصله‌ای که در آن نیم تغییرنامه به حد ثابتی می‌رسد) است (۲). شرط استفاده از روش‌های خانواده کریجینگ آن است که داده‌ها از توزیع نرمال پیروی کنند. در این مطالعه بررسی نرمال بودن داده‌های بارندگی با استفاده از آماره اندرسون-دارلینگ در سطح اطمینان ۹۵٪ و نرم‌افزار Minitab16 صورت پذیرفت. برای تعیین نیم تغییرنامه بهینه در همه روش‌های کریجینگ نیز پنج مدل: کروی، نمایی، خطی، خطی دارای حد آستانه و گوسی بر داده‌ها برازش شد و نیم تغییرنامه بهینه بر اساس مقدار مجموع مربعات خطای کمتر، ضریب همبستگی بالاتر و نسبت بخش بی‌ساختاردار به کل تغییرپذیری کمتر از ۵٪ انتخاب می‌شود.

روش کوکریجینگ

چنانچه از متغیر اصلی در منطقه بدلایلی به اندازه کافی داده نداشته باشیم اما داده‌های یک متغیر کمکی به تعداد زیاد در منطقه موجود باشد، می‌توان با استفاده از روش

رگرسیونی، بین داده‌های واقعی و داده‌های برآورده یک رابطه رگرسیونی خطی ساده به صورت زیر برقرار شده سپس این معادله با خط $1:1$ مقایسه می‌گردد.

$$Y=a+bX \quad (6)$$

به عبارتی هر چه عرض از مبدأ (a) به صفر و شیب (b) به یک نزدیکتر و ضریب همبستگی مقادیر واقعی (Y) و برآورده (X) بالاتر باشد روش نظر از دقت بالاتری برخوردار است.

نتایج و بحث

نتایج درون‌یابی‌ها

روش وزنی عکس فاصله: در این روش پس از اعتبارسنجی متقاطع و محاسبه ریشه میانگین مربعات خطای مشخص شد که از بین توان‌های 1 تا 5 ، توان 3 به عنوان توان بهینه برای درون-یابی بارندگی روزانه در خوزستان می‌باشد. همچنین بررسی تاثیر نقاط همسایگی نیز نشان داد که تغییر تعداد نقاط همسایگی، تقریباً تأثیری بر روی دقت این روش ندارد.

روش کوکریجینگ

در این روش تحلیل روابط همبستگی بین متغیر اصلی بارندگی روزانه و متغیر کمکی ارتفاع، نشان داد که در بیشتر روزهای مطالعاتی همبستگی قوی و معنی‌داری در سطح اطمینان 95% بین دو متغیر وجود ندارد. بنابراین روش کوکریجینگ به طور کلی از ادامه محاسبات حذف گردید.

آزمون نرمال بودن داده‌ها

نتایج آزمون نرمال بودن داده‌های بارندگی روزانه در روش کریجینگ عمومی و داده‌های باقیمانده‌های در روش رگرسیون کریجینگ بیانگر این بود که در برخی موارد داده‌ها در سطح اطمینان 95% از توزیع نرمال پیروی نمی‌کنند. لذا قبل از انجام درون‌یابی‌ها، نرمال سازی داده‌های غیرنرمال با استفاده از تبدیل ریشه دوم صورت پذیرفت.

تحلیل روابط رگرسیون خطی چندگانه در رگرسیون--کریجینگ

نتایج روابط رگرسیون خطی چندگانه در سطح 95% بین متغیر وابسته بارندگی و متغیرهای مستقل طول جغرافیایی، عرض جغرافیایی و ارتفاع ایستگاهها (جدول ۲) مشخص کرد که

استفاده شد. داده‌های شبکه‌بندی شده بارندگی $ArcGIS9.3$ در یک شبکه منظم $0/25 \times 0/25$ برآورد شده‌اند و ایستگاه‌های مطالعاتی در اکثر موارد منطبق بر محل گره‌های شبکه نبوده و از آنها فاصله دارند. از سوی دیگر داده‌های ADW با استفاده از روش درون‌یابی $APHRODIT$ برآورد شده-اند و امکان درون‌یابی مجدد برای تغییر قدرت تفکیک مکانی و یا بدست آوردن لایه‌ای منطبق بر محل ایستگاه‌ها وجود ندارد. لذا برای مقایسه داده‌های برآورده $APHRODIT$ با داده‌های ثبت شده در ایستگاه‌ها، مقادیر بارندگی $ArcGIS9.3$ در روزهای مورد بررسی را به صورت لایه‌های اطلاعاتی مجزا و داده‌های ایستگاهی را نیز بصورت لایه‌های نقطه‌ای وارد محیط نرم‌افزاری $ArcGIS9.3$ گردید. آنگاه فاصله هر 44 ایستگاه مطالعاتی تا نزدیکترین گره شبکه استخراج کرده و بدین ترتیب نزدیکترین گره به هر ایستگاه مشخص شد. سپس مقادیر بارندگی گره در مقابل مقدار بارندگی ثبت شده در نزدیکترین ایستگاه قرار گرفت. در نهایت با شاخص‌های ارزیابی خطی، مقادیر خطای $APHRODIT$ نسبت به داده‌های ثبت شده در ایستگاه‌ها بدست آمد.

معیارهای ارزیابی روش‌ها

برای ارزیابی دقت روش‌های مختلف درون‌یابی از تکنیک اعتبارسنجی حذفی یا متقاطع^۱ استفاده شده و برای مقایسه و انتخاب بهترین روش برآورد بارندگی شاخص‌های ریشه میانگین مربعات خطای^۲ و میانگین خطای اریب^۳ و خطای مطلق میانگین^۴ و تحلیل رگرسیونی استفاده شدند که به صورت زیر محاسبه می‌گردند (۱۹).

$$RMSE = \sqrt{\frac{\sum_{i=1}^N [\hat{Z}(x_i) - Z(x_i)]^2}{N}} \quad (3)$$

$$MBE = \frac{\sum_{i=1}^N [\hat{Z}(x_i) - Z(x_i)]}{N} \quad (4)$$

$$MAE = \frac{\sum_{i=1}^N |Z(x_i) - \hat{Z}(x_i)|}{N} \quad (5)$$

در روابط فوق، $Z(x_i)$ مقدار مشاهده شده و $\hat{Z}(x_i)$ مقدار برآورد شده و N تعداد داده‌ها می‌باشند. در روش تحلیل

1 - Cross Validation

2 - Root Mean Square Error (RMSE)

3 - Mean Bias Error (MBE)

4 - Mean Absolute Error(MAE)

وابسته و متغیرهای مستقل وجود دارد.

فقط در ۲۸ سری از داده‌ها همبستگی معنی‌داری بین متغیر

جدول ۲- روابط رگرسیون خطی چندگانه بین متغیر بارندگی و متغیرهای طول و عرض جغرافیایی و ارتفاع ایستگاه

روابط رگرسیون خطی چندگانه	روز	ماه	سال	روابط رگرسیون خطی چندگانه	روز	ماه	سال
$13 = -1566 + 16/6 X + 25/4 Y + 0/0.73 Z$	۱۳	ژانویه	۲۰۰۴	$6 = -723 + 1/44 X + 21/4 Y + 0/0.644 Z$	۶	ژانویه	۲۰۰۴
$33 = -620 + 6/66 X + 9/51 Y - 0/0.242 Z$	۲	فوریه	۲۰۰۴	$45 = -1492 + 15/1 X + 24/2 Y + 0/0.168 Z$	۱۴	فوریه	۲۰۰۴
$328 = -307 + 0/0.3 X + 10/1 Y + 0/0.501 Z$	۲۳	نوامبر	۲۰۰۴	$310 = -284 + 4/83 X + 1/9 Y - 0/0.0036 Z$	۵	نوامبر	۲۰۰۴
$360 = -1439 + 17/8 X + 18/7 Y - 0/0.126 Z$	۲۵	دسامبر	۲۰۰۴	$346 = -1200 + 8/94 X + 25/3 Y - 0/0.132 Z$	۱۱	دسامبر	۲۰۰۴
$*10 = -882 + 12/7 X + 8/72 Y - 0/0.43 Z$	۱۰	ژانویه	۲۰۰۵	$*8 = 239 - 2/59 X - 3/42 Y + 0/0.0083 Z$	۸	ژانویه	۲۰۰۵
$40 = -671 + 7/12 X + 10/4 Y - 0/0.292 Z$	۹	فوریه	۲۰۰۵	$46 = -142 + 0/31 X + 4/2 Y - 0/0.0038 Z$	۱۵	فوریه	۲۰۰۵
$320 = -750 + 14/2 X + 2/36 Y - 0/0.689 Z$	۱۶	نوامبر	۲۰۰۵	$69 = -357 + 3/33 X + 6/37 Y + 0/0.443 Z$	۱۰	مارس	۲۰۰۵
$359 = -1190 + 19/3 X + 8/5 Y + 0/0.7 Z$	۲۵	دسامبر	۲۰۰۵	$*342 = 49 + 3/22 X - 5/75 Y + 0/0.64 Z$	۸	دسامبر	۲۰۰۵
$27 = -754 + 15 X + 1/32 Y + 0/0.188 Z$	۲۷	ژانویه	۲۰۰۶	$7 = -1197 + 10/3 X + 22/7 Y + 0/0.0087 Z$	۷	ژانویه	۲۰۰۶
$40 = -2060 + 18/1 X + 37/9 Y - 0/0.126 Z$	۹	فوریه	۲۰۰۶	$50 = -284 + 1/64 X + 6/9 Y - 0/0.162 Z$	۱۹	فوریه	۲۰۰۶
$317 = -1171 + 12 X + 19/1 Y + 0/0.63 Z$	۱۳	نوامبر	۲۰۰۶	$77 = -787 + 12/7 X + 5/95 Y - 0/0.0041 Z$	۱۸	مارس	۲۰۰۶
$351 = -1245 + 16/1 X + 15/7 Y - 0/0.219 Z$	۱۷	دسامبر	۲۰۰۶	$*335 = -357 + 4/0.3 X + 5/47 Y + 0/0.0096 Z$	۱	دسامبر	۲۰۰۶
$13 = -1145 + 12 X + 18/2 Y - 0/0.127 Z$	۱۳	ژانویه	۲۰۰۷	$4 = -395 + 8/67 X - 0/37 Y - 0/0.117 Z$	۴	ژانویه	۲۰۰۷
$35 = -626 + 6/62 X + 9/93 Y + 0/0.188 Z$	۴	فوریه	۲۰۰۷	$35 = -236 + 2/36 X + 4/0.5 Y + 0/0.00835 Z$	۴	فوریه	۲۰۰۷
$86 = -1780 + 18/3 X + 29/1 Y - 0/0.193 Z$	۲۷	مارس	۲۰۰۷	$333 = 20.6 - 5/15 X + 1/63 Y + 0/0.175 Z$	۲۹	نوامبر	۲۰۰۷
$342 = -745 + 8/32 X + 11/3 Y + 0/0.716 Z$	۸	دسامبر	۲۰۰۷	$336 = -750 + 7/41 X + 12/6 Y + 0/0.00663 Z$	۲	دسامبر	۲۰۰۷

*- رابطه معنی‌داری بین متغیر وابسته و متغیرهای مستقل وجود ندارد.

های روش رگرسیون کریجینگ در جداول ۳ و ۴ ارائه شده است. نتایج جدول ۳ بیانگر آن است که در روش کریجینگ فقط در ۲۳ روز از ۳۴ روز مورد بررسی، نسبت اثر قطعه‌ای به

ارزیابی ساختار مکانی داده‌ها
نتایج تعیین نیم‌تغییرنماهای تجربی و مدل‌های نیم-
تغییرنمای بهینه داده بارندگی در روش کریجینگ و باقیمانده-

ها در منطقه است. بر اساس نتایج جدول ۴ در روش رگرسیون کریجینگ فقط ۲۰ روز از ۲۸ سری داده باقیمانده بارندگی، ساختار مکانی مناسب دارند. همچنین مدل تئوری کروی در بیشتر موارد مدل نیم‌تغییرنما بھینه باقیمانده‌ها است.

کل تغییرپذیری $[C_0/(C+C_0)]$ کمتر از $0/5$ است و نقش مؤلفه ساختاردار بارندگی بیشتر از مؤلفه بی‌ساختار آن است. این امر بیانگر ساختار مکانی مناسب داده‌های بارندگی در این روزها و امکان استفاده از روش کریجینگ برای درون‌یابی داده-

جدول ۳- مشخصات نیم‌تغییرنماهای بھینه برای داده‌های بارندگی روزانه در استان خوزستان- روش کریجینگ

سال	ماه	روز	مدل	آستانه	اثر قطعه‌ای	(C_0+C)	دامنه تأثیر	($C_0/(C_0+C)$)	ضریب همبستگی	مجموع مربعات خطای
۲۰۰۰	ژانویه	۶	نمایی	۵/۵	۰/۷	۱۰/۱/۲	۰/۱	۱	۰/۵	۰/۵
۲۰۰۰	فوریه	۱۴	کروی	۷/۳	۰	۱۰/۵/۷	۰	۱	۰/۶	۰/۶
۲۰۰۰	نومبر	۵				بی‌ساختار				
۲۰۰۰	دسامبر	۱۱	کروی			بی‌ساختار				
۲۰۰۱	ژانویه	۸				بی‌ساختار				
۲۰۰۱	فوریه	۱۵	کروی			بی‌ساختار				
۲۰۰۱	مارس	۱۰	نمایی			بی‌ساختار				
۲۰۰۱	دسامبر	۸	کروی	۶	۰	۷۹/۹	۰	۰/۸	۰/۲	۰/۲
۲۰۰۲	ژانویه	۷	کروی	۱/۲	۰/۲	۱۱۹/۱	۰/۳	۰/۸	۰/۸	۰/۸
۲۰۰۲	فوریه	۱۹	کروی	۲/۱	۰	۶۰/۱	۰	۰/۹	۰/۲	۰/۹
۲۰۰۲	مارس	۱۸	کروی	۳/۲	۰	۱۳۷/۹	۰/۹	۰/۹	۰/۹	۰/۹
۲۰۰۲	دسامبر	۱	کروی	۳/۱	۰	۳۲/۶	۰	۰/۸	۱/۷	۰/۸
۲۰۰۳	ژانویه	۴	نمایی	۹۰/۵	۰/۱	۶۹/۷	۰	۰/۸	۱۲۸۲	۰/۸
۲۰۰۳	فوریه	۴				بی‌ساختار				
۲۰۰۳	نومبر	۲۹	کروی	۲/۸	۰	۴۰/۵	۰	۰/۸	۱/۳	۰/۸
۲۰۰۳	دسامبر	۲				بی‌ساختار				
۲۰۰۴	ژانویه	۱۳	نمایی	۱۰۲۸	۱	۵۳/۷	۰	۰/۹	۱۷۲۳	۰/۹
۲۰۰۴	فوریه	۲	کروی	۳/۵	۰	۷۶	۰	۰/۹	۱/۴	۰/۹
۲۰۰۴	نومبر	۲۳	نمایی	۳/۶	۱	۴۵/۲	۰/۳	۰/۸	۰/۴	۰/۸
۲۰۰۴	دسامبر	۲۵	کروی	۹	۰	۲۸/۵	۰	۰/۸	۳/۹	۰/۸
۲۰۰۵	ژانویه	۱۰				بی‌ساختار				
۲۰۰۵	فوریه	۹	کروی	۴	۰	۳۹	۰	۰/۹	۲/۳	۰/۹
۲۰۰۵	نومبر	۱۶	نمایی	۱/۶	۰	۵۷/۱	۰	۰/۷	۰/۶	۰/۷
۲۰۰۵	دسامبر	۲۵	نمایی	۴/۹	۰	۱۱۹/۳	۰	۰/۹	۱/۸	۰/۹
۲۰۰۶	ژانویه	۲۷	نمایی	۱/۳	۱۱	۲۲۹/۴	۰/۱	۰/۸	۱۰	۰/۸
۲۰۰۶	فوریه	۹	کروی	۷	۰	۱۳۷/۲	۰	۰/۹	۵/۴	۰/۹
۲۰۰۶	نومبر	۱۳				بی‌ساختار				
۲۰۰۶	دسامبر	۱۷	نمایی	۵۸/۷	۳۲۱/۷	۷۸/۸	۰/۲	۰/۹	۵۲۲۲	۰/۹
۲۰۰۷	ژانویه	۱۳	کروی	۱/۴	۰/۹	۱۸۵/۹	۰/۲	۱	۰/۳	۱
۲۰۰۷	فوریه	۴	کروی	۴/۴	۰	۳۶/۵	۰	۰/۹	۱/۱	۰/۹
۲۰۰۷	مارس	۲۷	کروی	۵/۶	۰	۵۷/۲	۰	۰/۹	۱/۷	۰/۹
۲۰۰۷	دسامبر	۸	نمایی	۳۱۴/۴	۰/۱	۹۴/۱	۰	۱	۱۵۸۸	۱

جدول ۴- مشخصات نیم تغییرنماهای بهینه برای داده‌های باقیمانده بارندگی در ایستگاه‌ها- روش رگرسیون کریجینگ

سال	ماه	روز	مدل	اثر قطعه‌ای (C₀)	آستانه (C₀+C)	دامنه تأثیر (Km)	(C₀/(C₀+C))	ضریب همبستگی	مجموع مربعات خطأ
۲۰۰۰	ژانویه	۶	کروی	۰/۱	۱۹۰/۶	۴۸/۱	.	۱	۱۳۴
۲۰۰۰	فوریه	۱۴	کروی	۰/۱	۱۸۴/۳	۲۹/۵	.	۰/۷	۸۷۶۰
۲۰۰۰	نومبر	۵				بی ساختار			
۲۰۰۰	دسامبر	۱۱				بی ساختار			
۲۰۰۱	فوریه	۱۵				بی ساختار			
۲۰۰۱	مارس	۱۰				بی ساختار			
۲۰۰۲	ژانویه	۷	کروی	۰/۱	۲۳۵/۷	۲۱/۷	.	۰/۷	۲۰۷۷۷
۲۰۰۲	فوریه	۱۹	نمایی	۰/۵	۲/۷	۱۵۳/۸	.	۱	.
۲۰۰۲	مارس	۱۸	کروی	۲۷	۱۶۲/۱	۵۴/۷	.	۱	۲۱۴
۲۰۰۳	ژانویه	۴	کروی	۰/۱	۶۱/۵	۲۳/۴	.	۰/۸	۸۷۶
۲۰۰۳	فوریه					بی ساختار			
۲۰۰۳	نومبر	۲۹	کروی	۰/۰۰۱	۲/۶	۴۳/۹	.	۰/۹	۱/۱
۲۰۰۳	دسامبر	۲				بی ساختار			
۲۰۰۴	ژانویه	۱۳	کروی	۱	۸۳۳/۲	۳۳/۲	.	۰/۹	۸۴۲۲۳۱
۲۰۰۴	فوریه	۲	نمایی	۰/۱	۵۲/۹	۸۳/۵	.	۰/۷	۳۲۰
۲۰۰۴	نومبر	۲۳				بی ساختار			
۲۰۰۴	دسامبر	۲۵	کروی	۱	۴۴۳/۵	۳۳/۹	.	۰/۸	۲۸۸۵۴
۲۰۰۵	فوریه	۹	کروی	۰	۱/۶	۲۹/۳	.	۰/۸	۰/۵
۲۰۰۵	نومبر	۱۶	کروی	۰/۱	۵۴	۲۰/۲	.	۰/۶	۱۴۳۱
۲۰۰۵	دسامبر	۲۵	کروی	۰/۱	۲۶۴/۲	۳۴/۱	.	۰/۹	۲۲۹۲
۲۰۰۶	ژانویه	۲۷	کروی	۱	۶۱۵/۸	۲۰/۴	.	۰/۸	۶۷۱۰۱
۲۰۰۶	فوریه	۹	کروی	۰/۱	۱۶۹/۷	۲۲/۴	.	۰/۷	۹۳۵۳
۲۰۰۶	نومبر	۱۳				بی ساختار			
۲۰۰۶	دسامبر	۱۷	کروی	۰/۱۶	۵۱/۳	۰/۹	.	۰/۹	۰/۵
۲۰۰۷	ژانویه	۱۳	کروی	۱۹	۷۶/۹	۷۵/۵	.	۰/۹	۲۲۵
۲۰۰۷	فوریه	۴	کروی	۱۷	۱۵۷/۳	۲۹/۸	.	۰/۹	۱۱۹۳
۲۰۰۷	مارس	۲۷	کروی	۱	۴۸۹/۴	۵۰/۳	.	.	۶۰۰۸
۲۰۰۷	دسامبر	۸	کروی	۰/۱	۱۷۴/۱	۲۸/۶	.	.	۵۰۹

کوکریجینگ بدلیل عدم همبستگی بین متغیر بارندگی روزانه و ارتفاع، از محاسبات حذف گردید.

مقایسه مقادیر شاخص‌های ریشه میانگین مربعات خطأ و میانگین خطای مطلق (جدول ۵) در روزهای مورد مطالعه نشان می‌دهد که روش رگرسیون کریجینگ نسبت روش‌های کریجینگ عمومی و وزنی عکس فاصله دارای خطای بسیار کمتری در برآورد بارندگی روزانه می‌باشد.

شاخص میانگین خطای اریبی نشان دهنده متوسط اختلاف

مقایسه نتایج روش‌های درون‌یابی

برای تعیین مناسب‌ترین روش درون‌یابی بارندگی روزانه در استان خوزستان چهار روش درون‌یابی مورد مقایسه قرار گرفتند. بدین ترتیب که ابتدا تکنیک اعتبارسنجی متقاطع بر کلیه روش‌های درون‌یابی مورد مطالعه اعمال گردید و سپس شاخص‌های میانگین مربعات خطأ، میانگین خطای اریب و میانگین خطای مطلق هر روش محاسبه شدند که نتایج آن‌ها در جدول ۵ ارائه شده است. البته همانگونه که ذکر شد روش

برآورده و مقادیر ثبت شده در ایستگاهها نسبت به روش‌های دیگر کمتر می‌باشد. بنابراین روش رگرسیون کریجینگ نسبت به روش‌های کریجینگ عمومی و وزنی عکس فاصله دقت بالاتری در برآورد بارندگی روزانه در استان خوزستان دارد.

مقادیر برآورده و مشاهداتی است و هر چه این شاخص به صفر نزدیکتر باشد روش درون‌یابی مورد نظر از دقت بالاتری برخوردار است. ارزیابی مقادیر این شاخص (جدول ۵) بیانگر آن که در روش رگرسیون کریجینگ اختلاف مقادیر بارندگی روزانه

جدول ۵- مقادیر خطای شاخص‌های مختلف در روش‌های درون‌یابی بکارگرفته شده برای داده‌های بارندگی روزانه

سال	ماه	روز	RMSE			MBE			MAE		
			وزنی عکس فاصله	کریجینگ عمومی	رگرسیون کریجینگ	وزنی عکس فاصله	کریجینگ عمومی	رگرسیون کریجینگ	وزنی عکس فاصله	کریجینگ عمومی	رگرسیون کریجینگ
۲۰۰۰	ژانویه	۶	۱۲/۷۴	۱۲/۸۱	۱۳/۱۹	۲/۹	۲/۹۳	-۰/۱۴	۹/۲	۹/۶	۹/۱
۲۰۰۰	فوریه	۱۴	۲۸/۲۷	۲۸/۰۸	۱۲/۰۹	۱۹/۵۳	۱۹/۴۷	-۰/۲۱	۱۹/۸	۱۹/۸	۷/۹
۲۰۰۲	ژانویه	۷	۳۰/۷۴	۳۰/۸	۱۵/۹۸	۲۱/۷۱	۲۱/۸۱	۱/۳۸	۲۱/۸	۲۱/۹	۱۲/۱
۲۰۰۲	فوریه	۱۹	۱۳/۵	۱۳/۳۳	۷/۲۹	۱۰/۵۲	۱۰/۳۷	۱/۴۴	۱۰/۸	۱۰/۶	۵/۳
۲۰۰۲	مارس	۱۸	۲۴/۴۵	۲۴/۳۸	۹/۱۹	۲۰/۰۹	۲۰/۱۱	-۰/-۰۴	۲۰/۱	۲۰/۱	۶/۷
۲۰۰۳	ژانویه	۴	۷/۹۱	۸/۲۵	۷/۴۱	-۰/۷۶	-۰/۰۷	-۰/۱۴	۵/۷	۵/۹	۵/۶
۲۰۰۳	نوامبر	۲۹	۱۲/۱۹	۱۲/۲۱	۸/۰۶	۷/۱۶	۷/۱۶	-۰/۰۶	۷/۸	۷/۸	۴/۱
۲۰۰۴	ژانویه	۱۳	۲۹/۶۸	۲۹/۲۷	۲۹/۲	۲/۳	-۰/۳۸	-۰/۴۱	۲۳/۴	۲۳/۷	۲۴/۴
۲۰۰۴	فوریه	۲	۹/۳۵	۹/۳	۶/۶	۵/۷	۵/۸۵	-۰/-۳۴	۶/۹	۶/۹	۴/۱
۲۰۰۴	دسامبر	۲۵	۳۰/۷۹	۳۱/۲۲	۳۱/۲۴	۲۱/۳۵	۲۱/۶۸	۱/۴۷	۲۳/۷	۲۴	۱۷/۶
۲۰۰۵	فوریه	۹	۱۱/۹۲	۱۱/۹۴	۱۰/۲۳	۵/۶۶	۵/۷۸	-۰/۷۸	۷/۳	۷/۳	۷
۲۰۰۵	نوامبر	۱۶	۸/۶۳	۸/۶۲	۸/۶	-۰/۷	-۰/۳۳	-۰/۲۵	۶/۶	۶/۸	۷/۲
۲۰۰۵	دسامبر	۲۵	۳۱/۷۸	۳۱/۸۶	۱۳/۶۵	۲۵/۴۶	۲۵/۵۱	-۰/۳۸	۲۵/۹	۲۶	۹/۸
۲۰۰۶	ژانویه	۲۷	۳۸/۰۳	۳۸/۱۹	۲۲/۳۵	۲۶/۶۲	۲۶/۵۸	-۰/۷۳	۲۷/۲	۲۷/۱	۱۶/۴
۲۰۰۶	فوریه	۹	۳۴/۹	۳۴/۷۹	۱۳/۲۵	۲۵/۷۱	۲۵/۸۲	-۰/۹۳	۲۵/۹	۲۶	۱۰/۲
۲۰۰۶	دسامبر	۱۷	۱۵/۱۵	۱۵/۲۹	۱۶/۱۱	-۱/۷۹	-۰/-۴۴	۱/۷۸	۱۰/۱	۱۱/۱	۱۲/۹
۲۰۰۷	ژانویه	۱۳	۱۷/۱۸	۱۷/۱۷	۷/۷۴	۱۲/۴۷	۱۲/۴۸	-۰/۱۲	۱۳	۱۳	۶/۱
۲۰۰۷	فوریه	۴	۲۱/۷۷	۲۱/۸	۱۳/۱۲	۱۴/۸۳	۱۴/۷۹	-۰/۷۴	۱۶	۱۵/۹	۹/۵
۲۰۰۷	مارس	۲۷	۳۶/۲۸	۳۶/۳	۱۵/۴۱	۲۷/۵۸	۲۷/۸۱	-۰/۷۵	۲۸/۴	۲۸/۵	۱۰/۹
۲۰۰۷	دسامبر	۸	۱۳/۶۳	۱۳/۴۱	۱۳/۲۳	-۱/۴۵	-۰/-۳۹	-۰/۰۷	۱۰/۳	۱۰	۱۰/۵

مقایسه مقادیر بارندگی روزانه برآورده *APHRODIT* و رگرسیون کریجینگ

باتوجهه به اینکه روش کریجینگ رگرسیون بهترین روش درون‌یابی بارندگی روزانه در منطقه خوزستان تعیین گردید، بنابراین شاخص‌های ارزیابی خطای تحلیل رگرسیونی روش کریجینگ رگرسیون با روش *APHRODIT* مقایسه شدند (جدول ۶). براساس نتایج جدول ۶ درصد از موارد مقادیر خطای ریشه میانگین مربعات روش رگرسیون کریجینگ کمتر از خطای روش *APHRODIT* است. مقایسه میانگین خطای

نتایج ارزیابی خطای روش نزدیکترین همسایگی برای مقایسه داده‌های *APHRODIT* با داده‌های ایستگاهی

برای ارزیابی خطای روش نزدیکترین همسایگی که جهت مقایسه مقادیر بارندگی *APHRODIT* با داده‌های ایستگاهی بکار برده شده است، از تکییک اعتبارسنجی متقطع استفاده نموده و با محاسبه شاخص‌های ریشه میانگین مربعات خطای میانگین خطای اریب، خطای مطلق میانگین و تحلیل رگرسیونی مقادیر خطای داده‌های *APHRODIT* نسبت به داده‌های ایستگاهها برآورد شدند که نتایج آن در جدول ۶ ارائه شده است.

میانگین نیز بیانگر دقت بالاتر روش رگرسیون کریجینگ نسبت به *APHRODIT* است زیرا در ۸۵ درصد از موارد خطای رگرسیون کریجینگ کمتر می‌باشد.

اریب دو روش نشان می‌دهد که در همه روزهای مورد بررسی روش رگرسیون کریجینگ با خطا کمتری بارندگی روزانه را در استان خوزستان برآورد می‌کند. بررسی مقادیر خطای مطلق

جدول ۶- مقایسه میانگین مربعات خطای روش‌های رگرسیون کریجینگ و *APHRODIT* در برآورد داده‌های بارندگی روزانه

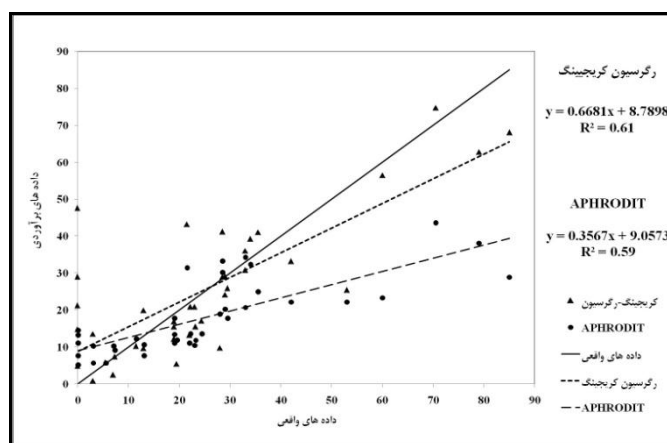
سال	ماه	روز	RMSE	MBE		MAE		
				<i>APHRODIT</i>	دگرسیون کریجینگ	<i>APHRODIT</i>	دگرسیون کریجینگ	
۲۰۰۰	ژانویه	۶	۱۳/۳	۱۵/۸	۰/۱۴	۶/۶۱	۹/۱	۱۰/۸
۲۰۰۰	فوریه	۱۴	۱۲/۱	۱۵/۹	-۰/۲۸	۹/۳	۷/۹	۱۰/۱
۲۰۰۲	ژانویه	۷	۱۶	۱۴/۶	۱/۳۸	۲/۱	۱۲/۱	۱۰/۲
۲۰۰۲	فوریه	۱۹	۷/۳	۶/۲	۱/۴۴	۱/۸۲	۵/۳	۴/۵
۲۰۰۲	مارس	۱۸	۹/۲	۱۴/۶	-۰/۰۴	۱۱/۳۱	۶/۷	۱۱/۹
۲۰۰۳	ژانویه	۴	۷/۴	۷/۵	۰/۱۴	۳/۴۶	۵/۶	۶/۱
۲۰۰۳	نوامبر	۲۹	۸/۱	۹/۲	۰/۹۶	۲/۲۴	۴/۸	۵/۶
۲۰۰۴	ژانویه	۱۳	۲۹/۳	۳۲/۵	۰/۴۱	۱۹/۵۲	۲۴/۴	۲۵/۳
۲۰۰۴	فوریه	۲	۶/۶	۷/۴	-۰/۳۴	۲/۶۳	۴/۸	۶
۲۰۰۴	دسامبر	۲۵	۲۱/۳	۲۲/۸	۱/۴۷	۱۳/۷۹	۱۷/۶	۱۷/۷
۲۰۰۵	فوریه	۹	۱۰/۳	۱۱/۳	۰/۷۸	۴/۹۸	۷	۷/۱
۲۰۰۵	نوامبر	۱۶	۸/۶	۱۱/۷	-۰/۲۵	۸/۴	۷/۳	۹/۹
۲۰۰۵	دسامبر	۲۵	۱۳/۶	۱۴/۴	۰/۳۸	۶/۲۲	۹/۱	۱۱/۳
۲۰۰۶	ژانویه	۲۷	۲۲/۴	۲۱	-۰/۷۳	۴/۳۴	۱۶/۴	۱۵/۶
۲۰۰۶	فوریه	۹	۱۳/۳	۱۸/۴	۰/۹۳	۷/۹۲	۱۰/۲	۱۲/۸
۲۰۰۶	دسامبر	۱۷	۱۶/۱	۲۶/۶	۱/۷۸	۲۱/۶۲	۱۲/۹	۲۴/۳
۲۰۰۷	ژانویه	۱۳	۷/۷	۱۱/۳	۰/۱۲	۳/۸۴	۶/۱	۷/۷
۲۰۰۷	فوریه	۴	۱۳/۱	۱۹/۵	۰/۷۴	۱۲/۲۱	۹/۵	۱۴/۲
۲۰۰۷	مارس	۲۷	۱۵/۵	۲۲/۸	-۰/۷۵	۸/۱۲	۱۰/۹	۱۷/۳
۲۰۰۷	دسامبر	۸	۱۳/۲	۱۲/۷	-۰/۰۷	-۱/۷۸	۱۰/۵	۹/۶

تحلیل رگرسیونی روش‌های رگرسیون کریجینگ و *APHRODIT* در اکثر روزها به یک نزدیکتر می‌باشد. در شکل‌های ۲ و ۳ تحلیل رگرسیونی روش‌های رگرسیون کریجینگ و *APHRODIT* در برآورد بارندگی روزانه نسبت به خط ۱:۱ برای دو روز نمونه ارائه شده است.

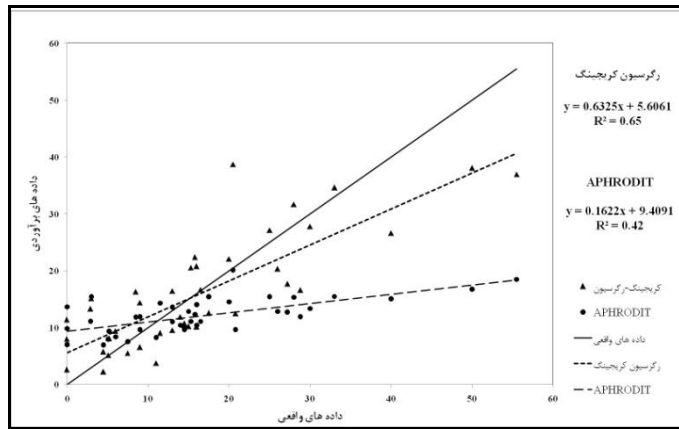
در تحلیل رگرسیونی، بین داده‌های بارندگی روزانه ثبت شده در ایستگاه‌ها و داده‌های برآوردهای دو روش رگرسیون کریجینگ و *APHRODIT* رابطه رگرسیونی خطی ساده برقرار کرده و معادله روزهای مطالعاتی با خط ۱:۱ مقایسه گردید. نتایج تحلیل رگرسیونی (جدول ۷) نشان می‌دهد که در بیشتر روزها ضریب همبستگی روش رگرسیون کریجینگ نسبت به

جدول ۷- نتایج تحلیل رگرسیونی روش‌های رگرسیون-کریجینگ و APHRODIT در برآورد بارندگی روزانه

سال	ماه	روز	ضریب همبستگی		عرض از مبدأ (a)		شیب (b)	
			رگرسیون کریجینگ	APHRODIT	رگرسیون کریجینگ	APHRODIT	رگرسیون کریجینگ	APHRODIT
۲۰۰۰	ژانویه	۶	۰/۶۲	۰/۵۹	۶/۷۹	۸/۱۸	۰/۷۱	۰/۳۷
۲۰۰۰	فوریه	۱۴	۰/۶۹	۰/۷۵	۴/۷۲	۲/۶۷	۰/۱	۰/۴۹
۲۰۰۲	ژانویه	۷	۰/۵۱	۰/۵۹	۱۰/۶۱	۱۱/۱۴	۰/۵۵	۰/۱۵
۲۰۰۲	فوریه	۱۹	۰/۴	۰/۵۹	۶/۶۴	۴/۱	۰/۴	۰/۵۱
۲۰۰۲	مارس	۱۸	۰/۶۱	۰/۶۳	۱۰/۲۸	۰/۹۲	۰/۵۹	۰/۵۱
۲۰۰۳	ژانویه	۴	۰/۳۷	۰/۲۶	۹/۹۵	۱/۰۹	۰/۳۸	۰/۳
۲۰۰۳	نومبر	۲۹	۰/۴	۰/۲۲	۵/۰۴	۵/۰۵	۰/۳۱	۰/۲۵
۲۰۰۴	ژانویه	۱۳	۰/۲	۰/۲۱	۲۶/۷۱	۲۰/۱۶	۰/۳۳	۰/۱۳
۲۰۰۴	فوریه	۲	۰/۳۵	۰/۲۱	۴/۸۴	۳/۱۷	۰/۴۶	۰/۲۱
۲۰۰۴	دسامبر	۲۵	۰/۲۱	۰/۳۶	۱۵/۹۶	۲/۲۵	۰/۳۱	۰/۳۸
۲۰۰۵	فوریه	۹	۰/۰۶	۰/۰۲	۵/۲۱	۲/۴۶	۰/۱۶	۰/۰۳
۲۰۰۵	نومبر	۱۶	۰/۴۲	۰/۴۶	۱۰/۰۱	۳/۱۹	۰/۰۴	۰/۴۶
۲۰۰۵	دسامبر	۲۵	۰/۵۵	۰/۲	۱۰/۹۴	۱۳/۸۲	۰/۶۳	۰/۳۴
۲۰۰۶	ژانویه	۲۷	۰/۴	۰/۵	۱۷/۷۲	۱۶/۴۵	۰/۴۵	۰/۴۲
۲۰۰۶	فوریه	۹	۰/۷۲	۰/۵۵	۶/۱۷	۷/۹۲	۰/۷۵	۰/۴۸
۲۰۰۶	دسامبر	۱۷	۰/۱۷	۰/۰۲	۲۴/۴۸	۱۴/۰۱	۰/۳	۰/۰۴
۲۰۰۷	ژانویه	۱۳	۰/۶۵	۰/۴۲	۵/۶۱	۹/۴۱	۰/۶۳	۰/۱۶
۲۰۰۷	فوریه	۴	۰/۳۸	۰/۲۴	۱۱/۴۶	۴/۱	۰/۳۶	۰/۰۶
۲۰۰۷	مارس	۲۷	۰/۶۱	۰/۲	۱۶/۶۱	۱۸/۷۴	۰/۶	۰/۱۸
۲۰۰۷	دسامبر	۸	۰/۳۵	۰/۳۲	۱۲	۱۷/۱۸	۰/۴۵	۰/۳۱



شکل ۲- تحلیل رگرسیونی روش‌های رگرسیون کریجینگ و APHRODIT در برآورد بارندگی روز ۶ ژانویه ۲۰۰۰



شکل ۳- تحلیل رگرسیونی روش‌های رگرسیون کریجینگ و APHRODIT در برآورد بارندگی روزانه ۱۳ زانویه ۲۰۰۷

آلمان نیز بیانگر آن است که درون‌بابی مکانی بارندگی ساعتی با روش کریجینگ با روند خارجی و ترکیب متغیرهای کمکی مختلف، الگوهای مکانی بارندگی را در منطقه بطور قابل ملاحظه بهبود می‌دهند.

مقایسه تحلیلی بهترین روش درون‌بابی بارندگی روزانه و روش شبکه APHRODIT بیانگر آن بود که براساس مقادیر خطای ریشه میانگین مربعات و خطای مطلق میانگین دقت روش رگرسیون کریجینگ در بیشتر روزهای مورد بررسی از روش APHRODIT بالاتر است. همچنین مقایسه میانگین خطای اریب دو روش نشان داد که در همه روزهای مورد مطالعه روش رگرسیون کریجینگ با خطای کمتری بارندگی روزانه را در استان خوزستان برآورد می‌کند. نتایج تحلیل رگرسیونی روش‌های رگرسیون کریجینگ و APHRODIT نیز مشخص کرد که در بیشتر روزها ضریب همبستگی بین مقادیر واقعی و برآورده روش رگرسیون کریجینگ بیشتر است. بنابراین با توجه به نتایج بدست آمده از این تحقیق برای دستیابی به توزیع مکانی و داده‌های برآورده بارندگی روزانه در سطح منطقه‌ای، روش درون‌بابی رگرسیون کریجینگ مناسب‌تر و دقیق‌تر از داده‌های برآورده بارندگی روزانه شبکه APHRODIT در استان خوزستان است. پیشنهاد می‌گردد به منظور اعتبارسنجی و استفاده کاربردی از داده‌های شبکه این شبکه با داده‌های زمینی، مقایسه‌ای نیز با داده‌های بارندگی مبتنی بر سنجش از دور صورت پذیرد.

نتیجه‌گیری

در این مطالعه چهار روش درون‌بابی: وزنی عکس فاصله، کریجینگ عمومی، کوکریجینگ و رگرسیون کریجینگ جهت تعیین مناسب‌ترین روش برآورد بارندگی روزانه در استان خوزستان با استفاده از داده‌های ۴۴ ایستگاه در ۳۲ روز مورد بررسی با یکدیگر مقایسه شدند. نتایج ارزیابی شاخص‌های خطای روش‌های درون‌بابی نشان داد که روش رگرسیون کریجینگ نسبت به کریجینگ عمومی و روش وزنی عکس فاصله دقت بالاتری در برآورد بارندگی روزانه دارد. بنابراین مشخص گردید که روش‌های درون‌بابی مبتنی بر روابط رگرسیونی که از چندین متغیر کمکی استفاده می‌کنند، دقت برآورد بارندگی روزانه را در برآورد بارندگی روزانه مطالعه روش رگرسیون کریجینگ با خطای کمتری بارندگی روزانه را در استان خوزستان برآورد می‌دهند.

بنابراین مشخص گردید که روش‌های درون‌بابی مبتنی بر روابط رگرسیونی که از چندین متغیر کمکی استفاده می‌کنند، دقت برآورد بارندگی روزانه افزایش می‌دهند. البته مطالعات انجام شده در مناطق مختلف جهان در سال‌های اخیر نیز ممید این موضوع می‌باشند. مانند مطالعه واگر و همکاران (۱۸) در حوضه آبریزی در هند که مشخص نمود روش‌های درون‌بابی رگرسیونی در برآورد بارندگی روزانه نتایج بهتری نسبت روش‌های تک متغیره دارند. تحقیق دی‌پیزا و همکاران (۹) در سیسیل ایتالیا نیز نشان داد که برای تکمیل سری زمانی داده‌های ماهانه بارندگی روش‌های تک متغیره بدون در نظر گرفتن متغیر کمکی ارتفاع خطای زیادی در برآورد دارند ولی استفاده از ارتفاع در محاسبات سبب کاهش خطاهای می‌گردد. همچنین مطالعه‌ی ورورن و هابرلندر (۱۶) در شمال

سپاسگزاری

نگارندهان از دفتر تحقیقات شبکه‌های آبیاری و زهکشی سازمان آب و برق خوزستان به دلیل حمایت‌های مالی و سازمان هواشناسی کشور به دلیل در اختیار قرار دادن داده‌های هواشناسی تشکر می‌نمایند.

منابع

بارانی‌زاده الف، بهیار م.ب، جوانمرد س. و عابدینی ی.ع. ۱۳۹۰. صحت سنجی برآوردهای بارندگی الگوریتم ماهواره‌ای *PERSIANN* با داده‌های بارش زمینی شبکه‌بندی شده *APHRODIT* در ایران. مجموعه مقالات کنفرانس فیزیک ایران. ۲۶۱۸-۲۶۱۵.

حسنی پاک ع.الف. ۱۳۸۶. زمین آمار(ژئوستاتیستیک)، انتشارات دانشگاه تهران.
رضیئی ط، عزیزی ق، محمدی ح. و خوش اخلاق ف. ۱۳۸۹. الگوهای روزانه گردش جو زمستانه تراز ۵۰۰ هکتوپاسکال بر روی ایران و خاورمیانه. مجله پژوهش‌های جغرافیای طبیعی ۷۴: ۳۴-۱۷.
مدنی ح. ۱۳۷۳. مبانی زمین‌آمار. دانشگاه صنعتی امیرکبیر- واحد تفرش.
میرموسوی ح، مزیدی الف. و خسروی ی. ۱۳۸۹. تعیین بهترین روش زمین آمار جهت تخمین توزیع بارندگی با استفاده از GIS (مطالعه موردی: استان اصفهان)، فصلنامه فضای جغرافیایی ۱۰(۳۰): ۱۲۰-۱۰۵.
نادی م، جامعی م. و بذرافشان مج. ۱۳۹۱. ارزیابی روش‌های مختلف درون‌یابی داده‌های بارندگی ماهانه و سالانه(مطالعه موردی: استان خوزستان). مجله پژوهش‌های جغرافیای طبیعی ۴۴(۴): ۱۳۰-۱۱۷.

Beven K.J. 2001. Rainfall-runoff Modelling: The Primer. John Wiley and Sons Ltd., Chichester.

Coulibaly M. and Becker S. 2007. Spatial Interpolation of Annual Precipitation in South Africa - Comparison and Evaluation of Methods. Journal of International Water Resources Association, 32(3): 494-502.

Di Piazza A., Lo Conti F., Noto L.V., Viola F. and Loggia G.La. 2011. Comparative analysis of different techniques for spatial interpolation of rainfall data to create a serially complete monthly time series of precipitation for Sicily, Italy, International Journal of Applied Earth Observation and Geoinformation, 13 : 396–408.

Francisco J.M. 2010. Comparison of different geostatistical approaches to map climate variables: application to precipitation. International Journal of Climatology, 30: 620-631.

Kamiguchi K., Arakawa O., Kitoh A., Yatagai A., Hamada A. and Yasutomi N. 2010. Development of APHRO_JP, the first Japanese high-resolution daily precipitation product for more than 100 years. Hydrological Research Letters, 4:60–64.

Odeh I.O.A., McBratney A.B. and Chittleborough D.J. 1995. Further results on prediction of soil properties from train attributes: heterotopic Cokriging and regression-kriging. Geoderma 673: 215–226.

Rajeevan M. and Bhate J. 2009. A high resolution daily gridded rainfall dataset (1971–2005) for meso-scale meteorological studies. Curr. Sci, 96:558-562.

Raziei T., Mofidi A., Santos J. and Bordi I. 2011. Spatial patterns and regimes of daily precipitation in Iran in relation to large-scale atmospheric circulation. International Journal of Climatology. International Journal of Climatology, 32(8), 1226–1237.

Torres M.P.J. and Jacquin A.P. 2011. Geostatistical interpolation of precipitation data over an Andean catchment in Central Chile. Geophysical Research Abstracts, 13:EGU2011-3829-1.

Verworn A. and Haberlandt U. 2011. Spatial interpolation of hourly rainfall – effect of additional

information, variogram inference and storm properties. *Hydrology and Earth System Sciences*, 15:569–584.

Vu M.T., Raghavan S.V. and Lioung S.Y. 2012. SWAT use of gridded observations for simulating runoff – a Vietnam river basin study *Hydrology and Earth System Sciences*, 16: 2801–2811.

Wagner P.D., Fiener P., Wilken F., Kumar Sh. and Schneider K. 2012. Comparison and evaluation of spatial interpolation schemes for daily rainfall in data scarce regions. *Journal of Hydrology*, 464–465 (2012): 388–400.

Wilks D.S. 2006. *Statistical Methods in the Atmospheric Sciences*, Second Edition, Academic Press is an imprint of Elsevier, Cornell University, USA.

Zhang X. and Srinivasan R. 2009. GIS-Based Spatial Precipitation Estimation: A Comparison of Geostatistical Approaches. *Journal of the American Water Resources Association*, 45(4) :894–906.

Yatagai A., Kamiguchi K., Arakawa O., Hamada A., Yasutomi N. and Kitoh A. 2012. APHRODITE: Constructing a Long-Term Daily Gridded Precipitation Dataset for Asia Based on a Dense Network of Rain Gauges. *Bulletin of American Meteorological Society*, 9: 1401–1415.

Validation of Grid APHRODIT Daily Precipitation Estimates and Estimates Derived from Spatial Interpolation of Precipitation in the Khuzestan Province

Mozhdeh Jamei^{*1}- Mohammad Mousavi Baygi² -Mohammad Bannayan³

Received:

Accepted:

Abstract

Accurate and reliable precipitation data is very important for hydrological studies, water resources management and planning. In this study, to obtain the most appropriate method for estimating regional precipitation in Khuzestan province, the estimated daily precipitation data from the optimal interpolation method and APHRODIT daily grid precipitation data were compared with measured data from 44 meteorological stations during the 2000-2007 years. Four interpolation methods i.e. Inverse Distance Weighted, Ordinary Kriging, Cokriging, and Regression Kriging were assessed to determine the most appropriate interpolation method for daily precipitation. For the variography analysis in Kriging models, five variogram models including spherical, exponential, linear, linear to sill and Gaussian were fitted on the precipitation data. Near neighbor method was used to compare APHRODIT daily precipitation data with measured data in stations. Cross validation was used to evaluate different methods and the most appropriate method was determined based on Root Mean Square Error, Mean Bias Error, Mean Absolute Error indices and regression analysis. The results from evaluation of errors in interpolation methods showed that the regression Kriging method has the highest accurate to interpolation of daily precipitation data in Khuzestan province. Therefore, regression-based interpolation methods which using covariates would be improved precipitation evaluate accurate in the area. The Comparison of error indices and regression analysis of regression Kriging method and APHRODITE grid indicated that Estimation accuracy of regression Kriging is higher than the APHRODITE in the most days. Therefore to obtain the spatial distribution and estimate of regional daily precipitationin Khuzestan Province, Regression Kriging interpolation method is more accurate than estimate data of APHRODITE.

Keywords: Daily Precipitation, Regression Kriging, APHRODITE, Khuzestan

1- PhD student of Agrometeorology, Ferdowsi University of Mashhad
(*- Corresponding Author Email:Mozhdeh.jamei@gmail.com)

2 -Professor of Meteorology, Ferdowsi University of Mashhad

3 - Associate Professor of Agricultural Department, Ferdowsi University of Mashhad